

РОССИЙСКАЯ АКАДЕМИЯ НАУК  
СИБИРСКОЕ ОТДЕЛЕНИЕ  
А В Т О М Е Т Р И Я

№ 3

2001

УДК 621.382.323

Т. С. Шамирзаев, А. И. Торопов, А. К. Бакаров, К. С. Журавлев,  
Ю. Н. Раков, Ю. Б. Мякишев

(Новосибирск)

ПОЛУЧЕНИЕ ТВЕРДЫХ РАСТВОРОВ  $\text{Al}_x\text{Ga}_{1-x}\text{As}$   
И ЭПИТАКСИАЛЬНЫХ СТРУКТУР  
ДЛЯ МОЩНЫХ ПОЛЕВЫХ СВЧ-ТРАНЗИСТОРОВ\*

Сообщается о получении методом молекулярно-лучевой эпитаксии высокочистых слоев твердых растворов  $\text{Al}_x\text{Ga}_{1-x}\text{As}$  в диапазоне составов  $0 \leq x \leq 0,38$ . Полученный материал использован в гетероструктурах для мощных СВЧ-транзисторов. Изготовлены транзисторы с удельной насыщенной выходной мощностью до 1,2 Вт/мм на частоте 18 ГГц.

Развитие устройств связи, средств радиоэлектронной борьбы, радиолокации и других сверхвысокочастотных (СВЧ) приборов, в состав которых входят мощные СВЧ-транзисторы на основе арсенида галлия, требует улучшения основных характеристик СВЧ-транзисторов: удельной выходной мощности ( $P_{уд}$ ), коэффициента усиления мощности ( $K_{yP}$ ), коэффициента полезного действия (КПД), удельной крутизны вольт-амперных характеристик и рабочего диапазона частот [1]. Наиболее важным интегральным параметром транзисторов является удельная выходная мощность [2]. Удельная выходная мощность, достигнутая к настоящему времени на серийно выпускаемых в стране полевых СВЧ-транзисторах с барьером Шоттки (ПТШ) на арсенидгалиевые структурах, составляет 0,5–0,6 Вт/мм на частоте 18 ГГц [3]. Для повышения удельной мощности ПТШ необходимо одновременно увеличивать плотность тока исток–сток ( $I_c$ ) и пробивное напряжение сток–затвор ( $U_{ст-з}$ ). Известно, однако, что в арсенидгалиевых структурах с однородно легированным каналом, используемых в настоящее время для серийного изготовления СВЧ-транзисторов, одновременно повысить значения  $U_{ст-з}$  и  $I_c$  не удается [2, 4]. Анализ представленных в литературе данных показал, что наибольшие значения плотности тока и пробивного напряжения имеют транзисторы, в которых затвор располагается на широкозонном материале (в качестве материала часто используются твердые растворы  $\text{AlGaAs}$ ) [5, 6]. Величина пробивного напряжения  $U_{ст-з}$  в таких структурах определяется шириной запрещенной зоны твердого раствора и уменьшается с повышением концентрации фоновых примесей в нем.

В данной работе сообщается о получении высокочистых слоев твердых растворов  $\text{Al}_x\text{Ga}_{1-x}\text{As}$  с содержанием  $\text{AlAs}$  в диапазоне  $0 \leq x \leq 0,38$ . О низ-

\* Работа выполнена при поддержке гранта для молодых ученых РАН (проект № 403).

кой концентрации фоновых примесей в слоях свидетельствуют малые ширины линий рекомбинации экситонов, которые почти в 1,5–2 раза меньше минимальных экспериментальных значений, приведенных в литературе [7, 8], и не превышают значений, теоретически рассчитанных в предположении случайного распределения атомов Ga и Al в кристаллической решетке слоев  $\text{Al}_x\text{Ga}_{1-x}\text{As}$  [9]; кроме того, о низкой концентрации фоновых примесей свидетельствует и большое значение отношения интенсивности линии экситонов к интенсивности линии переходов зона–акцептор. Полученный широкозонный материал был использован в качестве подзатворного псевдодиэлектрика в  $\text{AlGaAs}/\text{GaAs}$  и псевдоморфных  $\text{AlGaAs}/\text{InGaAs}/\text{GaAs}$  гетероструктурах для мощных СВЧ-транзисторов. Изготовлены СВЧ-транзисторы с удельной насыщенной выходной мощностью до  $P_{\text{уд}} = 1,2 \text{ Вт}/\text{мм}$  на частоте 18 ГГц, что сравнимо с мощностью аналогичных зарубежных транзисторов [10].

Исследуемые в работе слои  $\text{AlGaAs}$  и гетероструктуры для СВЧ-транзисторов выращивались в установке молекулярно-лучевой эпитаксии "Riber 32P" с трехдюймовым держателем подложки на пластинах полуизолирующего  $\text{GaAs}(001)$ . В качестве исходных материалов использовался мышьяк марки ОСЧ с содержанием остаточных примесей  $<10^{-5} \%$  (7N) фирмы "Furukawa Co. Ltd", галлий марки ОСЧ с содержанием остаточных примесей  $<10^{-6} \%$  (8N) и индий марки ОСЧ с содержанием остаточных примесей  $<10^{-5} \%$  (7N), приготовленные в ИПТМ РАН, и алюминий марки ОСЧ с содержанием остаточных примесей  $<10^{-4} \%$  (6N) фирмы "Vacuum Metallurgical Co. Ltd". После отжига установки при 200 °C в течение двух недель и охлаждения криопанелей жидким азотом в ростовой камере достигалось давление остаточных газов не хуже  $10^{-11} \text{ Торр}$  при дежурных режимах молекулярных источников. Ранее [11] было показано, что основными источниками фонового легирования являются нагреватель подложки и загрузочные материалы, в особенности мышьяк. Поэтому особое внимание и время было уделено тщательному обезгаживанию самих молекулярных источников, нагревателя подложки и загрузочных материалов. Источники Ga и Al отжигались в течение нескольких часов при температурах на 150 °C выше температуры рабочих режимов, отжиг мышьяка проводился при эффективном давлении в потоке  $5 \cdot 10^{-5} \text{ Торр}$ . Исследуемые слои  $\text{Al}_x\text{Ga}_{1-x}\text{As}$  требуемого состава толщиной 2,5–3,0 мкм помещались между двумя тонкими (25 нм) обкладками  $\text{AlAs}$  для понижения скорости поверхностной и интерфейсной рекомбинации. Буферный слой содержал короткопериодную сверхрешетку из 20 периодов  $(\text{AlAs})_5(\text{GaAs})_{10}$ . Температура роста составляла 630 °C. Давление мышьяка поддерживалось достаточным для стабилизации на ростовой поверхности сверхструктуры (3 × 1)As. Последовательность слоев в гетероструктурах приведена в табл. 1, 2. На полученных гетероструктурах были изготовлены полевые транзисторы с барьером Шоттки с длиной затвора 0,5 мкм и суммарной шириной затвора 180, 300 и 900 мкм. Измерения СВЧ-параметров транзисторов проводились на зондовой установке «Поляна» на частотах 12 и 17,7 ГГц.

Стационарная фотолюминесценция (ФЛ) исследуемых слоев  $\text{AlGaAs}$  измерялась на установке, описанной в работе [11]. Для возбуждения ФЛ использовалось излучение  $\text{Ar}^+$ -лазера на длине волны 488 нм. Плотность мощности возбуждения менялась в пределах от  $3 \cdot 10^{-4}$  до  $160 \text{ Вт} \cdot \text{см}^{-2}$  с помощью

Т а б л и ц а 1  
Последовательность слоев  
в AlGaAs/GaAs гетероструктуре  
для СВЧ-транзисторов

Слой	Толщина, нм
$n^+$ -GaAs (Si: $6 \cdot 10^{18} \text{ см}^{-3}$ )	40
$i$ -GaAs	10
$i\text{-Al}_{0,24}\text{Ga}_{0,76}\text{As}$	30
Канал $n^+$ -GaAs (Si: $5 - 6 \cdot 10^{17} \text{ см}^{-3}$ )	55–100
$i$ -GaAs	100
CP ( $\text{AlAs}_5(\text{GaAs})_{10} \times 20$ )	—
$i$ -GaAs	300
Подложка АГЧП-10 (100)	—

Т а б л и ц а 2  
Последовательность слоев  
в псевдоморфной AlGaAs/InGaAs/GaAs  
гетероструктуре для СВЧ-транзисторов

Слой	Толщина, нм
$n^+$ -GaAs (Si: $6 \cdot 10^{18} \text{ см}^{-3}$ )	40
$i$ -GaAs	5
$i\text{-Al}_{0,38}\text{Ga}_{0,62}\text{As}$	30
Канал $n^+$ - $\text{In}_{0,15}\text{Ga}_{0,85}\text{As}$ (Si: $2,8 \cdot 10^{18} \text{ см}^{-3}$ )	19
$i$ -GaAs	10
$i\text{-Al}_{0,38}\text{Ga}_{0,62}\text{As}$	100
$i$ -GaAs	100
CP ( $\text{AlAs}_5(\text{GaAs})_{10} \times 20$ )	—
$i$ -GaAs	300
Подложка АГЧП-10 (100)	—

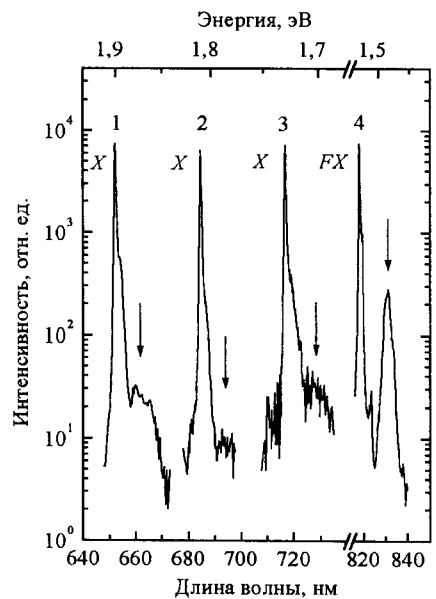
нейтральных фильтров. Содержание AlAs в слоях AlGaAs определялось по формуле, предложенной в работе [12]:

$$E_g(\text{AlGaAs}) = E_g(\text{GaAs}) + 1,447x - 0,15x^2, \quad (1)$$

где значение ширины запрещенной зоны твердого раствора  $E_g(\text{AlGaAs})$  рассчитывалось прибавлением энергии связи свободного экситона [13] к энергетическому положению линии рекомбинации свободного экситона в спектрах низкотемпературной ФЛ исследуемых слоев.

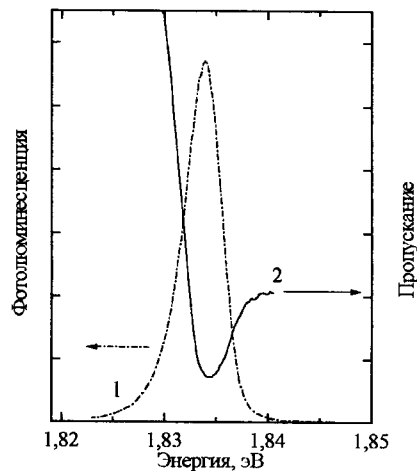
Спектры ФЛ намеренно не легированных слоев GaAs и  $\text{Al}_x\text{Ga}_{1-x}\text{As}$  различного состава, измеренные при температуре 4,2 К, приведены на рис. 1. В спектре слоя GaAs доминирует линия  $FX$  с энергией в максимуме 1,5151 эВ, обусловленная рекомбинацией свободных экситонов [14], кроме того, наблюдается линия рекомбинации зона–акцептор ( $e, A$ ) через уровень мелкого фонового акцептора углерода. Интенсивность линии ( $e, A$ ) в 30 раз ниже интенсивности линии  $FX$ .

В спектрах твердых растворов  $\text{Al}_x\text{Ga}_{1-x}\text{As}$  доминирует асимметричная линия  $X$ , энергия максимума которой зависит от состава твердого раствора. Низкоэнергетичное крыло этой линии описывается функцией Лоренца, а высокоэнергетичное крыло спадает экспоненциально. Интенсивность линии ( $e, A$ ), которая также присутствует в спектрах, на 2–3 порядка ниже интенсивности линии  $X$ . Хорошо известно, что в спектрах низкотемпературной ФЛ твердых растворов AlGaAs доминируют линии связанных экситонов. Для



*Рис. 1.* Спектры фотолюминесценции слоев GaAs и  $\text{Al}_x\text{Ga}_{1-x}\text{As}$ , измеренные при плотности мощности возбуждения  $30 \text{ мВт}/\text{см}^2$  и температуре  $4,2 \text{ К}$ : слои  $\text{Al}_x\text{Ga}_{1-x}\text{As}$  с  $x = 0,27$  (кривая 1):  $0,21$  (2);  $0,15$  (3);  $0$  (4). Стрелками обозначены энергетические положения линий переходов зона–акцептор ( $e, A$ )

того чтобы однозначно идентифицировать линию  $X$ , мы измерили спектры пропускания исследуемых слоев. На рис. 2 показаны спектры ФЛ и пропускания, измеренные при температуре  $4,2 \text{ К}$  для слоя AlGaAs с содержанием AlAs  $x = 0,21$ . Видно, что положение максимума линии в спектре ФЛ (кривая 1) сдвинуто относительно минимума в спектре пропускания (кривая 2) на величину порядка  $kT$ , что характерно для линии свободного экситона [15]. Та-



*Рис. 2.* Спектры фотолюминесценции и оптического пропускания слоя  $\text{Al}_x\text{Ga}_{1-x}\text{As}$ , измеренные при температуре  $4,2 \text{ К}$ :  $\text{Al}_x\text{Ga}_{1-x}\text{As} x = 0,21$ ; подложка GaAs удалена с помощью химического травления

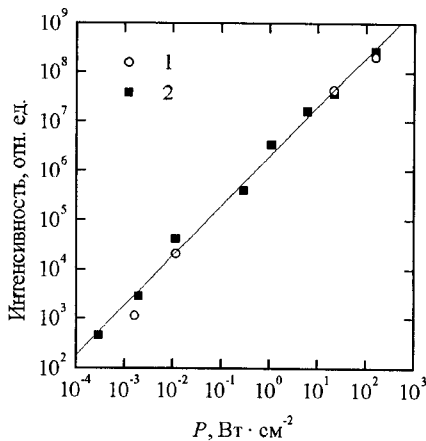


Рис. 3. Зависимости интегральной интенсивности линии свободных экситонов в слоях  $\text{Al}_x\text{Ga}_{1-x}\text{As}$  с  $x = 0,15$  (1) и  $0,21$  (2) от плотности мощности лазерного возбуждения

ким образом, мы идентифицируем линию  $X$ , как обусловленную рекомбинацией свободных экситонов.

Для сравнения концентраций мелких акцепторов углерод на месте мышьяка в слоях GaAs и  $\text{Al}_x\text{Ga}_{1-x}\text{As}$  вычислялось отношение интенсивностей линий, связанных с рекомбинацией свободных экситонов и с переходами зона—акцептор. Значение этого отношения в спектрах слоев  $\text{Al}_x\text{Ga}_{1-x}\text{As}$  в 10–30 раз меньше, чем в спектрах слоев GaAs. Это свидетельствует о том, что концентрация мелкого акцептора углерод на месте мышьяка в этих слоях, по крайней мере, на порядок меньше, чем в слое GaAs.

На рис. 3 приведены зависимости интегральной интенсивности линии  $X$   $f = I_X(P)$  от плотности мощности возбуждения для слоев с долей Al  $x = 0,15$  и  $0,21$ . Видно, что зависимость  $f = I_X(P)$  при изменении плотности мощности в диапазоне  $1 \cdot 10^{-4}$ – $100$  Вт · см $^{-2}$  представляет собой прямую линию. Линейная зависимость  $f = I_X(P)$  свидетельствует о том, что рекомбинация свободных экситонов является доминирующим каналом рекомбинации неравновесных носителей заряда в слоях  $\text{Al}_x\text{Ga}_{1-x}\text{As}$ , а концентрация центров безызлучательной рекомбинации мала. Известно, что доминирующими центрами безызлучательной рекомбинации в слоях  $\text{Al}_x\text{Ga}_{1-x}\text{As}$  являются фоновая примесь кислорода и собственные точечные дефекты [8, 16]. Поэтому низкая концентрация центров безызлучательной рекомбинации свидетельствует о низкой концентрации этой примеси и дефектов.

На рис. 4 представлена зависимость ширины линии  $X$ , полученная при плотностях мощности возбуждения  $\approx 30$  мВт/см $^2$ , от содержания AlAs в твердом растворе  $\text{Al}_x\text{Ga}_{1-x}\text{As}$ . Здесь же приведены данные для наиболее совершенных из известных в литературе слоев  $\text{Al}_x\text{Ga}_{1-x}\text{As}$ , полученных методами молекулярно-лучевой эпитаксии [7] и металлогорганической эпитаксии [17], и представлена расчетная зависимость ширины экситонной линии от состава твердого раствора [9]. Из рисунка видно, что значения ширины линии экситонной рекомбинации, полученные в данной работе, на 30–50 % меньше наименьших из приводимых в литературе значений и не превосходят расчетных значений из работы [9]. Данные, приведенные на рис. 4, свидетельствуют о том, что основным механизмом уширения линий рекомбинации

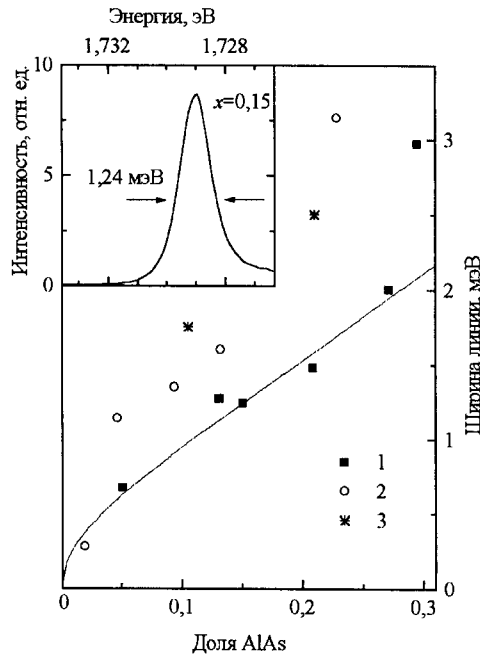


Рис. 4. Зависимость полуширины линии свободного экситона от состава твердого раствора: 1 – экспериментальные данные настоящей работы, 2 и 3 – экспериментальные данные работ [7] и [17] соответственно, сплошная линия – расчет из работы [9]: на вставке приведен спектр ФЛ с высоким разрешением для слоя  $\text{Al}_x\text{Ga}_{1-x}\text{As}$  с  $x = 0,15$

экситонов в спектрах исследованных слоев является влияние случайных электрических полей, возникающих вследствие хаотичного распределения атомов Al и Ga в твердом растворе; этот факт также указывает на низкую концентрацию ионизированных примесей.

Низкая концентрация фоновых примесей углерода и кислорода в исследуемых слоях  $\text{Al}_x\text{Ga}_{1-x}\text{As}$  связана, по-видимому, с высокой степенью сегрегации этих примесей на поверхности слоев, выращенных в условиях, обеспечивающих поддержание на их поверхности сверхструктур (3×1)As. Сегрегация углерода и кислорода наблюдалась ранее в  $\text{Al}_x\text{Ga}_{1-x}\text{As}$  при росте многослойных структур с квантовыми ямами и является одной из причин ухудшения качества обратной гетерограницы GaAs/AlGaAs по сравнению с качеством прямой границы AlGaAs/GaAs [18, 19].

Статические и динамические характеристики транзисторов, изготовленных на основе AlGaAs/GaAs и псевдоморфных AlGaAs/InGaAs/GaAs гетероструктур, приведены в табл. 3. Из таблицы видно, что значения  $P_{\text{уд}}$  и КПД изготовленных нами транзисторов в два раза выше, чем у серийно выпускаемых в стране приборов, и сравнимы со значениями параметров аналогичных транзисторов, выпускаемых за рубежом [10, 20]. Интегральные ПТШ были использованы в квазимонолитных усилителях мощности с распределенным усилением. Использование интегральных гетероструктурных псевдоморфных ПТШ обеспечило в диапазоне 2–16 ГГц выходную мощность 250–375 мВт при КПД = 12–17 % [21]. Использование ПТШ на основе гетероструктур AlGaAs/GaAs позволило в диапазоне S поднять уровень выходной

Таблица 3

**Результаты измерения статических и динамических характеристик  
полевых транзисторов, изготовленных на AlGaAs/GaAs  
и псевдоморфных AlGaAs/InGaAs/GaAs гетероструктурах**

Параметры	Гетероструктура	
	AlGaAs/GaAs	AlGaAs/InGaAs/GaAs
<b>Статические параметры ПТШ</b>		
Удельный максимальный насыщенный ток стока (при напряжении на затворе +1,5 В), мА/мм	500–525	250–320
Удельный насыщенный ток стока, мА/мм	330–350	133–167
Удельная крутизна, мСм/мм	110–120	117–133
Напряжение насыщения тока стока, В	1,3–1,5	1,1–1,3
Напряжение отсечки затвора, В	–3,0–4,0	–1,4–1,6
Пробивное напряжение затвор–сток при токе затвора 0,1 мА/мм, В	14–18	20–25
<b>Динамические параметры ПТШ на частоте измерения 17,7 ГГц</b>		
Малосигнальный коэффициент усиления, дБ	6,2–8,2	7–9,3
Удельная выходная мощность при сжатии $K_{yP}$ на 1дБ ( $P = 1$ ), Вт/мм	0,8–1,1	0,65–0,77
Удельная насыщенная мощность, Вт/мм	0,9–1,2	0,76–0,84
КПД по добавленной мощности, %	45–60	47–51

**Примечание.** Динамические характеристики ПТШ измерялись при токе исток–сток 160 мА/мм и напряжениях исток–сток 7–8 В и исток–затвор –2 и –0,5 В для транзисторов, изготовленных на основе гетероструктур AlGaAs/GaAs и AlGaAs/InGaAs/GaAs соответственно.

мощности с кристалла квазимонолитного усилителя мощности с 1,8 до 2,9 Вт при КПД = 25–30 %.

Таким образом, в данной работе сообщается о получении методом молекулярно-лучевой эпитаксии сверхчистого  $\text{Al}_x\text{Ga}_{1-x}\text{As}$  при  $0 \leq x \leq 0,38$  с низким содержанием фоновых примесей углерода и кислорода. Изготовлены полевые СВЧ-транзисторы с уровнем удельной выходной мощности 0,8–1,2 Вт/мм с КПД = 51–60 %, что в два раза превышает уровень ПТШ на основе GaAs, серийно выпускаемых в России, и сравнимо с мощностью транзисторов, выпускаемых за рубежом.

#### СПИСОК ЛИТЕРАТУРЫ

1. Сергеева О. Арсенидгаллиевые ИС. Современный уровень и перспективы // Электроника. 1997. № 2. С. 39.
2. Шур М. Современные приборы на основе арсенида галлия. М.: Мир, 1991.

3. **Новости СВЧ-техники.** 1995. № 10. С. 7.
4. **Пашковский А. Б.** Сравнение характеристик полевых СВЧ-транзисторов со ступенчатым и однородным профилем легирования активного слоя // Электрон. техника. Сер. Электроника СВЧ. 1986. 4. С. 14.
5. **Cooper S., Anderson K., Salzman K. et al.** 8-watt high efficiency X-band power amplifier using AlGaAs/GaAs HFET technology // GaAs IC Symp. 1992. P. 183.
6. **Greenberg D. R., Del Alamo J. A., Harbison J. P., Florez L. T.** A pseudomorphic AlGaAs/n + InGaAs metal-insulator-doped channel FET for broad-band, large-signal applications // IEEE Electron Dev. Lett. 1991. **12**, N 8. P. 436.
7. **Reynolds D. C., Bajaj K. K., Litton C. W. et al.** Excitonic photoluminescence linewidths in AlGaAs grown by molecular beam epitaxy // Appl. Phys. Lett. 1986. **48**, N 11. P. 727.
8. **Pavesi L., Guzzi M.** Photoluminescence of AlGaAs alloys // Journ. Appl. Phys. 1994. **75**, N 4. P. 4779.
9. **Lee S. M., Bajaj K. K.** // Journ. Appl. Phys. 1993. **73**. P. 1788.
10. **Matsunaga K. et al.** A 12 GHz, 12 W HJFET amplifier with 48 % peak power-aided efficiency // IEEE Microwave and Guided Wave Lett. 1995. **5**, N 11. P. 402.
11. **Zhuravlev K. S., Kalagin A. K., Moshegov N. T. et al.** Effect of the cracking zone temperature of a solid state arsenic source on the composition of background impurities in GaAs obtained by molecular beam epitaxy // Semiconductors. 1996. **30**. P. 891.
12. **Allali M. E., Sorensen C. B., Veje E., Tidemand-Petersson P.** Experimental determination of the GaAs and GaAlAs band-gap energy dependence on temperature and aluminium mole fraction in the direct band-gap region // Phys. Rev. B. 1993. **48**, N 11. P. 4398.
13. **Monemar B.** Fundamental energy gaps of AlAs and AlP from photoluminescence excitation spectra // Phys. Rev. B. 1973. **8**, N 12. P. 5711.
14. **Elman B. S., Koteles E. S., Zemon S. A., Chi Y. J.** Very high purity GaAs: Free exciton dominated 5-K photoluminescence and magnetophotoluminescence spectra // Journ. Vac. Sci. Technol. B. 1987. **5**, N 3. P. 757.
15. **Bebb H. B., Williams E. W.** Semiconductors and Semimetals /Ed. by R. K. Willardson. N. Y.: Academic, 1972. V. 8. P. 181.
16. **Chand N., Chu S. N. G., Jordan A. S., Geva M.** // Journ. Vac. Sci. Technol. B. 1992. **10**. P. 807.
17. **Olsthoorn S. M., Driessens F. A. J. M., Gilling L. J.** Excitonic photoluminescence spectra of AlGaAs grown by metalorganic vapor phase epitaxy // Appl. Phys. Lett. 1991. **58**, N 12. P. 1274.
18. **Chand N., Chu S. N. G., Geva M.** Effects of substrate misorientation on incorporation of ambient oxygen and infacial roughness in AlGaAs/GaAs heterostructures grown by molecular beam epitaxy // Appl. Phys. Lett. 1991. **59**, N 22. P. 2874.
19. **Zhang D. H., Li C. Y., Yoon S. F.** Influence of substrate misorientation on quality of active region and performance of GaAs/AlGaAs triple-quantum-well lasers grown by molecular beam epitaxy // Journ. Cryst. Growth. 1997. **181**, N 1–2. P. 1.
20. **Раков Ю. Н., Мякишев Ю. Б., Журавлев К. С. и др.** Применение высокочистых слоев  $\text{Al}_x\text{Ga}_{1-x}\text{As}$  в структурах мощных СВЧ-полевых транзисторов // Электрон. техника. Сер. СВЧ-техника. 1999. Вып. 1.
21. **Мякишев Ю. Б., Раков Ю. Н., Аксенов Б. Н.** Мощные СВЧ гетероструктурные полевые транзисторы // Тезисы 6-й Междунар. науч.-техн. конф. «Радиолокация, навигация, связь». Воронеж, 25–27 апреля 2000 г.